

Signaux et Systèmes

Chapitre 7

Analyse et synthèse des filtres analogiques

Décembre 2023

TABLE DES MATIERES

- 7.1 Filtres analogiques: généralités
- 7.2 Filtres à phase linéaire
- 7.3 Fonctions de transfert rationnelles
- 7.4 Placement des pôles et zéros
- 7.5 Synthèse de filtres particuliers

7.1 FILTRES ANALOGIQUES: GENERALITES

- Filtre analogique = système analogique linéaire invariant dans le temps (LIT)
- Classification des filtres analogiques
- Spécifications fréquentielles
- Diagramme de Bode
- Temps de propagation de groupe

Unser / Signaux & Systèmes

7-3

Filtre analogique = système analogique LIT

- Descriptions mathématiques équivalentes:
 - Réponse impulsionnelle

$$h(t) = S_a \left\{ \delta \right\}(t)$$

■ Réponse indicielle

$$a(t) = S_a \{u\} (t) = \int_{-\infty}^{t} h(\tau) d\tau$$

■ Réponse fréquentielle

$$H(\omega) = \mathcal{F}\{h\}(\omega) = \int_{-\infty}^{+\infty} h(t)e^{-j\omega t} dt$$

$$S_a\{\cdot\}$$
 $y(t)$

$$y(t) = (h * x) (t)$$

$$\updownarrow$$

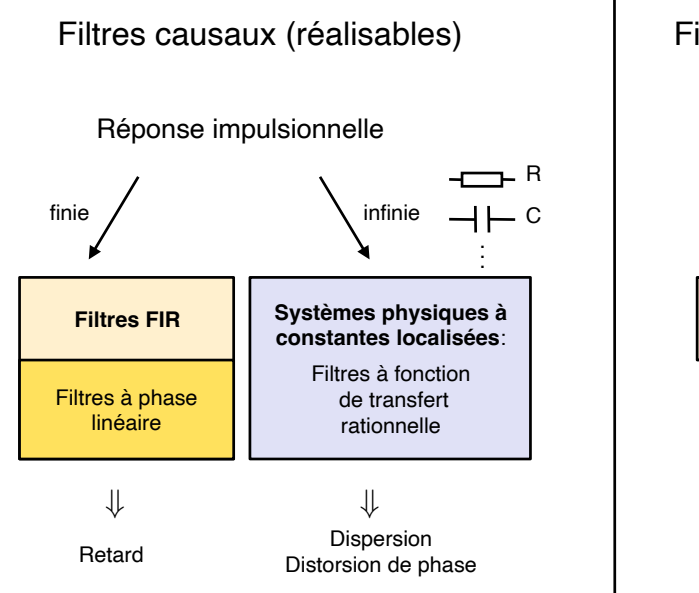
$$Y(\omega) = H(\omega) \cdot X(\omega)$$

■ Fonction de transfert (=notation plus concise)

$$H(s) = \int_{-\infty}^{+\infty} h(t)e^{-st} dt$$
 (Transformation de Laplace)

Equivalent à Fourier si l'on pose $s=j\omega$

Classification des filtres analogiques



Réponse impulsionnelle

finie

Filtres FIR

Filtres idéaux

Shannon
Nyquist

Remarque: la causalité est une contrainte physique liée à la flèche du **temps**. Des filtres non-causaux sont parfaitement réalisables dans d'autres contextes (e.g. systèmes optiques pour le traitement des images)

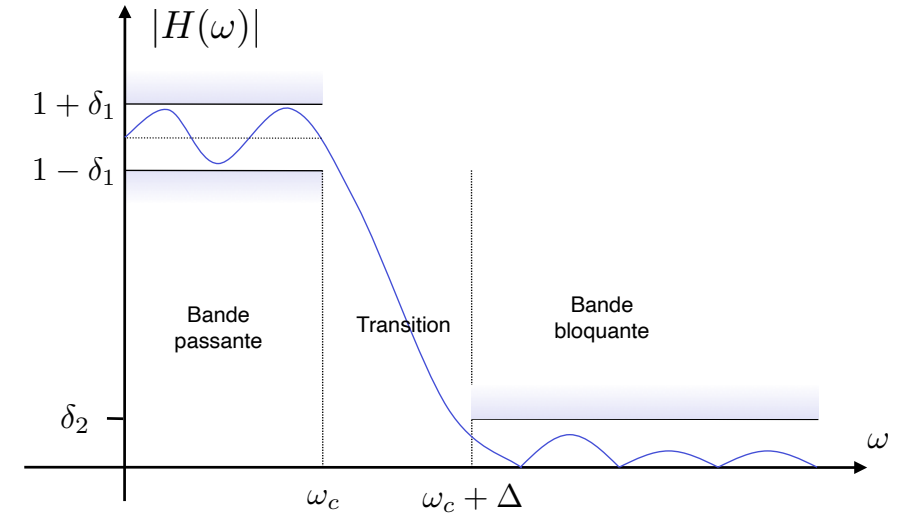
Unser / Signaux et systèmes 7-5

Spécifications fréquentielles

Les filtres idéaux n'étant pas réalisables, il faut faire des compromis:

- lacksquare Fluctuations dans la bande passante $(1\pm\delta_1)$
- Zone de transition (largeur Δ)
- Fluctuations dans la bande bloquante (0 $\pm \delta_2$)

La tolérance par rapport à une réponse idéale est exprimée à l'aide d'un gabarit



Unser / Signaux et systèmes 7-6

Diagramme de Bode

Réponse fréquentielle: $H(\omega) = |H(\omega)| \cdot e^{j\Phi_H(\omega)}$

Diagramme de Bode

■ Echelle fréquentielle logarithmique

■ Amplitude en décibel: $20 \log_{10} |H(\omega)|$ [dB]

■ Phase: $\Phi_H(\omega)$



$$H(\omega) = \frac{b_m(j\omega)^m + \dots + b_1(j\omega) + b_0}{(j\omega)^n + a_{n-1}(j\omega)^{n-1} + \dots + a_1(j\omega) + a_0}$$

lacksquare Forme asymptotique lorsque $\omega o +\infty$

$$\lim_{\omega \to +\infty} H(\omega) = \frac{b_m}{(j\omega)^{n-m}}$$

Amplitude normalisée:

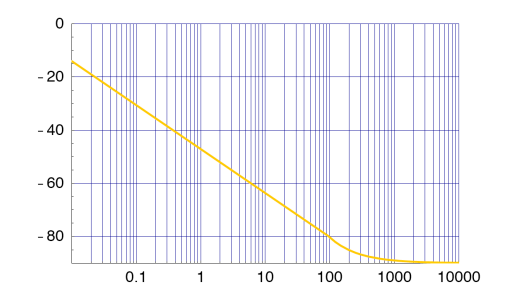
$$\lim_{\omega \to +\infty} \{20 \log_{10} |H(\omega)|\} = -20(n-m) \log_{10} \omega + \text{const}$$

Amplitude: Pente: 20(n-m) dB par décade

10
-10
-20
-30
-40
-50

0.1 1 10 100 1000 10000

Phase:



$$\lim_{\omega \to +\infty} \Phi_H(\omega) = -(n-m)\frac{\pi}{2}$$

Unser / Signaux et systèmes 7-7

Temps de propagation de groupe

- Motivation
 - L'effet d'un filtrage analogique se traduit généralement par l'introduction d'un retard
 - L'effet de ce retard est complètement encodé dans la phase
 - On observe une distorsion (dispersion) lorsque le temps de retard varie avec la fréquence
- Cas d'un retard pur

$$h_0(t) = \delta(t - t_0) \xrightarrow{\mathcal{F}} H_0(\omega) = e^{j\Phi_{H_0}(\omega)} \text{ avec } \Phi_{H_0}(\omega) = -\omega t_0$$

Temps de propagation de groupe (Group delay)

$$TPG(\omega) = -\frac{\mathrm{d}}{\mathrm{d}\omega}\Phi_H(\omega)$$

Propriété: additivité lors de la mise en cascade de filtres

$$h(t) = (h_1 * h_2)(t)$$
 \Rightarrow $\Phi_H(\omega) = \Phi_{H_1}(\omega) + \Phi_{H_2}(\omega)$
 \Rightarrow $\text{TPG}(\omega) = \text{TPG}_1(\omega) + \text{TPG}_2(\omega)$

TPG: exemples de calcul

Cas du retard pur

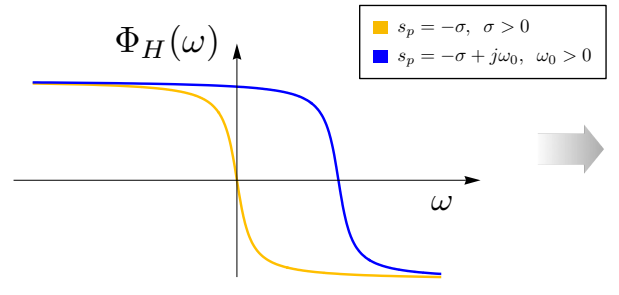
$$H_0(\omega) = e^{-j\omega t_0} \quad \Rightarrow \quad \text{TPG}(\omega) = -\frac{\mathrm{d}}{\mathrm{d}\omega}(-\omega t_0) = t_0$$

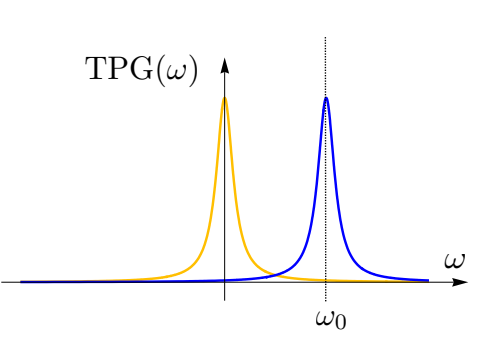
Systèmes différentiels

Formule alternative:
$$\mathrm{TPG}(\omega) = -\mathrm{Im}\left(\frac{\mathrm{d}}{\mathrm{d}\omega}\log H(\omega)\right) = -\mathrm{Im}\left(\frac{\frac{\mathrm{d}H(\omega)}{\mathrm{d}\omega}}{H(\omega)}\right)$$

Exemple: système du 1er ordre

$$H(\omega) = \frac{\sigma}{j\omega + \underbrace{(\sigma - j\omega_0)}_{-s_p}} \quad \Rightarrow \quad \text{TPG}(\omega) = -\text{Im}\left(\frac{\frac{-j\sigma}{(j\omega - s_p)^2}}{\frac{\sigma}{j\omega - s_p}}\right) = \text{Re}\left(\frac{1}{j(\omega - \omega_0) + \sigma}\right)$$





Unser / Signaux et systèmes

7-9

 $\quad \blacksquare \ z = a + jb = \rho \cdot e^{j\theta}$

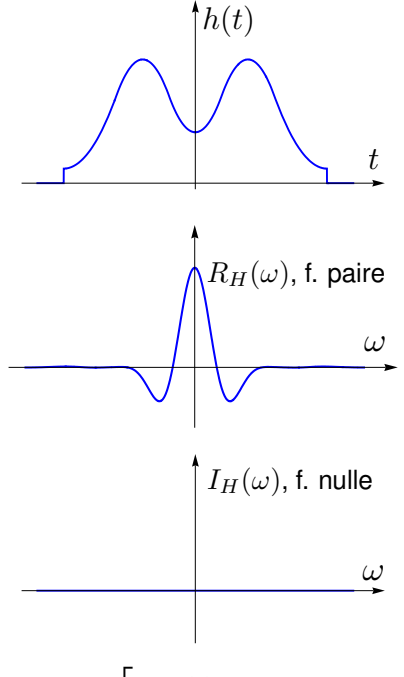
7.2 FILTRES A PHASE LINEAIRE

- Phase linéaire: cas de la symétrie paire
- Phase linéaire: cas de la symétrie impaire
- Réponse impulsionnelle d'un filtre à phase linéaire
- Réponse indicielle d'un filtre à phase linéaire
- Temps de montée
- Filtres passe-bas Gaussien
- Mise en cascade: filtre Gaussien équivalent

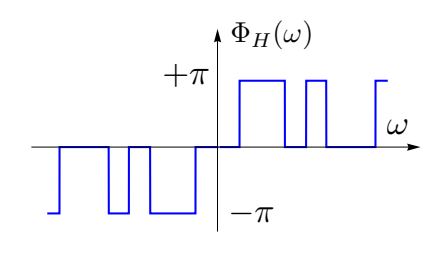
Réponse impulsionnelle à symétrie paire

Symétrie paire autour de t=0

$$h(t) = h(-t)$$



 $A_H(\omega)$, f. paire



$$\left[\begin{array}{c} h(t) \text{ avec symétrie} \\ \text{paire autour de } t=0 \end{array} \right.$$

$$\begin{array}{c} h(t) \text{ avec symétrie} \\ \text{paire autour de } t=0 \end{array} \right] \quad \Leftrightarrow \quad \Phi_H(\omega) = \left\{ \begin{array}{cc} 0, & R_H(\omega) \geqslant 0 \\ \pm \pi, & R_H(\omega) < 0 \end{array} \right.$$

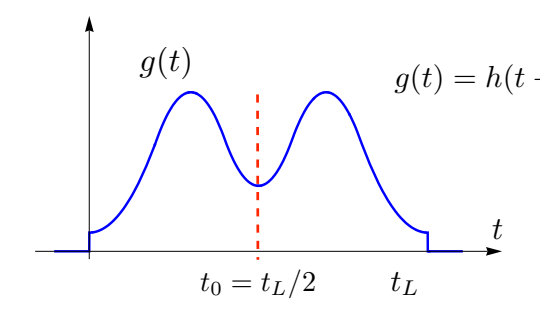
Unser / Signaux et systèmes

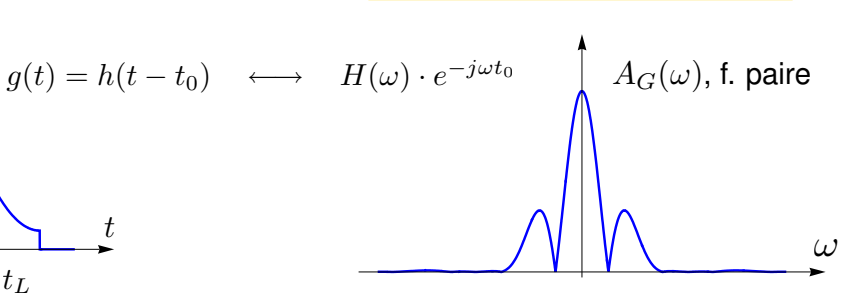
7-11

Phase linéaire: cas de la symétrie paire

Symétrie paire autour de $t=t_0$

 $g(t_0 + \tau) = g(t_0 - \tau) = h(\tau)$

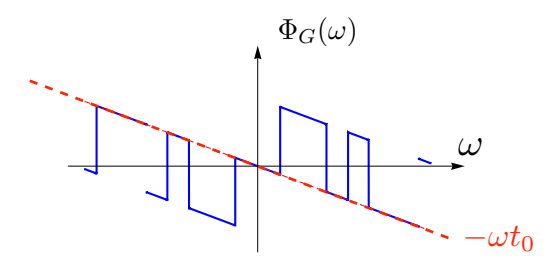




$$A_G(\omega) = A_H(\omega)$$

$$\Phi_G(\omega) = \Phi_H(\omega) - \omega t_0 \quad \text{ (modulo } 2\pi\text{)}$$

Unser / Signaux et systèmes

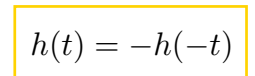


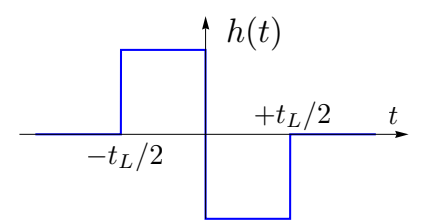
$$\left[\begin{array}{c}g(t)\text{ avec symétrie}\\\text{paire autour de }t=t_0\end{array}\right]\quad\Leftrightarrow\quad\Phi_G(\omega)=\left\{\begin{array}{ccc}-\omega t_0,&R_H(\omega)\geqslant0\\-\omega t_0\pm\pi,&R_H(\omega)<0\end{array}\right.\quad\text{=}\quad\text{phase linéaire!}$$

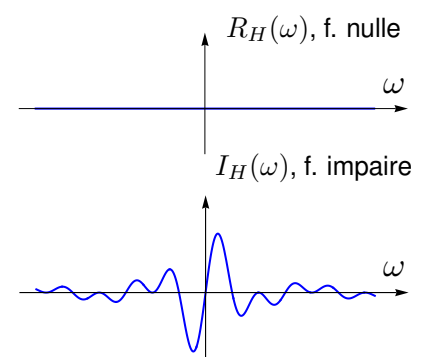
7-12

Réponse impulsionnelle à symétrie impaire

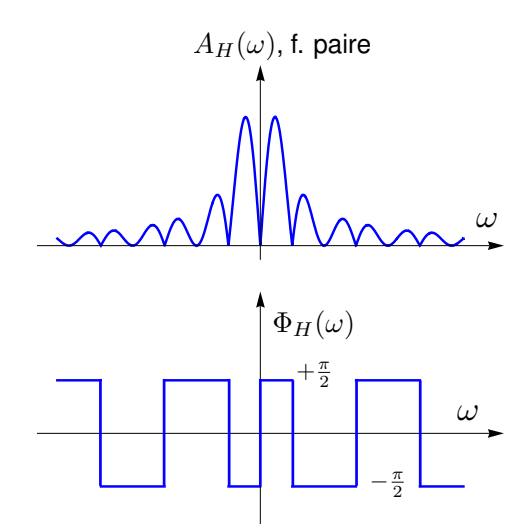
Symétrie impaire autour de t=0







$$\begin{cases}
h(t) \text{ avec symétrie} \\
\text{impaire autour de } t = 0
\end{cases}$$



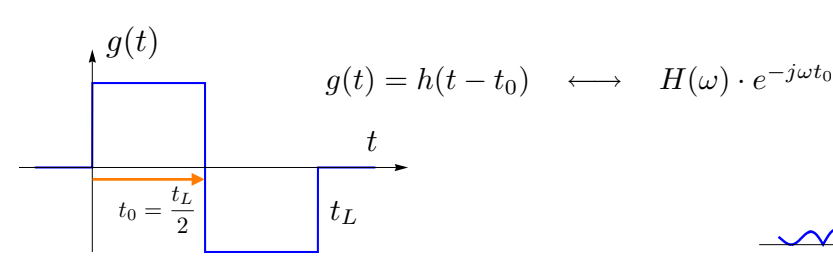
$$\begin{array}{c} h(t) \text{ avec symétrie} \\ \text{impaire autour de } t=0 \end{array} \right] \quad \Leftrightarrow \quad \Phi_H(\omega) = \left\{ \begin{array}{cc} +\pi/2, & I_H(\omega) > 0 \\ -\pi/2, & I_H(\omega) < 0 \end{array} \right.$$

7-13 Unser / Signaux et systèmes

Phase linéaire: cas de la symétrie impaire

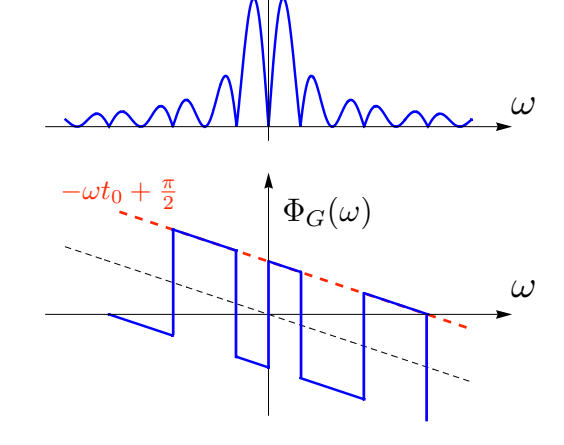
Symétrie impaire autour de $t=t_0$

$$g(t_0 + \tau) = -g(t_0 - \tau) = h(\tau)$$



$$A_G(\omega) = A_H(\omega)$$

$$\Phi_G(\omega) = \Phi_H(\omega) - \omega t_0 \qquad \text{(modulo } 2\pi\text{)}$$



 $A_G(\omega)$, f. paire

$$\left[\begin{array}{c}g(t) \text{ avec symétrie}\\ \text{impaire autour de }t=t_0\end{array}\right] \quad \Leftrightarrow \quad \Phi_G(\omega) = \left\{\begin{array}{ccc} -\omega t_0 + \pi/2, & I_H(\omega) > 0\\ -\omega t_0 - \pi/2, & I_H(\omega) < 0\end{array}\right. = \quad \text{phase linéaire!}$$

7-14 Unser / Signaux et systèmes

Réponse impulsionnelle d'un filtre à phase linéaire

Réponse fréquentielle d'un filtre réel, passe-bas à phase linéaire pure; i.e.,

$$H(\omega) = |H(\omega)| \cdot e^{-j\omega t_0}$$
 (c-à-d. $\Phi_H(\omega) = -\omega t_0$)

Calcul de la réponse impulsionnelle:

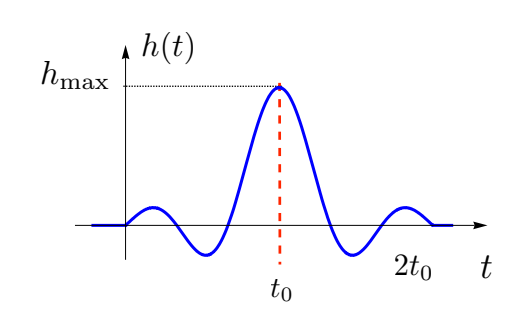
$$h(t) = \mathcal{F}^{-1}\{H\}(t) = \frac{1}{2\pi} \int_{-\infty}^{+\infty} |H(\omega)| \cdot e^{j(\omega t + \Phi_H(\omega))} d\omega$$
$$= \frac{1}{2\pi} \int_{-\infty}^{+\infty} |H(\omega)| \cdot \cos(\omega (t - t_0)) d\omega$$

Réponse maximale pour $t=t_0$ (tous les cosinus sont en phase):

$$h(t_0) = \frac{1}{2\pi} \int_{-\infty}^{+\infty} |H(\omega)| d\omega = h_{\text{max}}$$

Symétrie paire autour de $t=t_0$

$$h(t_0 + \tau) = h(t_0 - \tau)$$



Unser / Signaux et systèmes

7-15

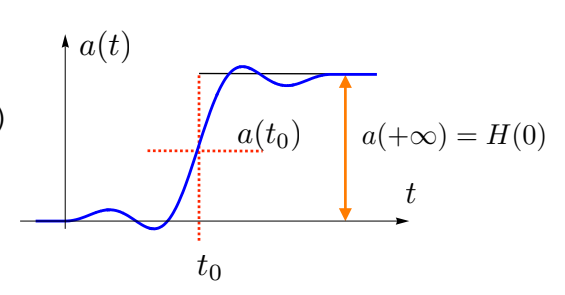
Réponse indicielle d'un filtre passe-bas à phase linéaire

Réponse indicielle (cas général): $a(t) = (u * h)(t) = \int_{-\infty}^{t} h(\tau) d\tau$

Filtre causal:

$$a(t) = 0$$
, pour $t \leq 0$

$$a(+\infty) = \int_{-\infty}^{+\infty} h(\tau) d\tau = H(0) > 0$$
 (si filtre passe-bas)



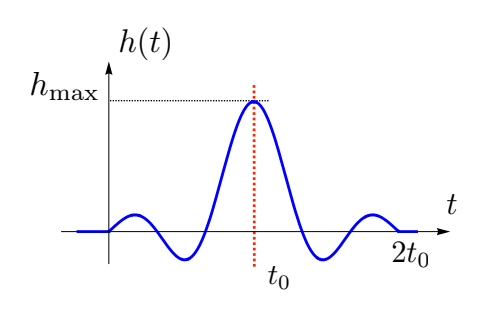
Filtre à phase linéaire: $h(t_0 + \tau) = h(t_0 - \tau)$

$$a(t_0) = \int_{-\infty}^{t_0} h(\tau) d\tau = \frac{1}{2} \int_{-\infty}^{+\infty} h(\tau) d\tau = \frac{1}{2} H(0)$$

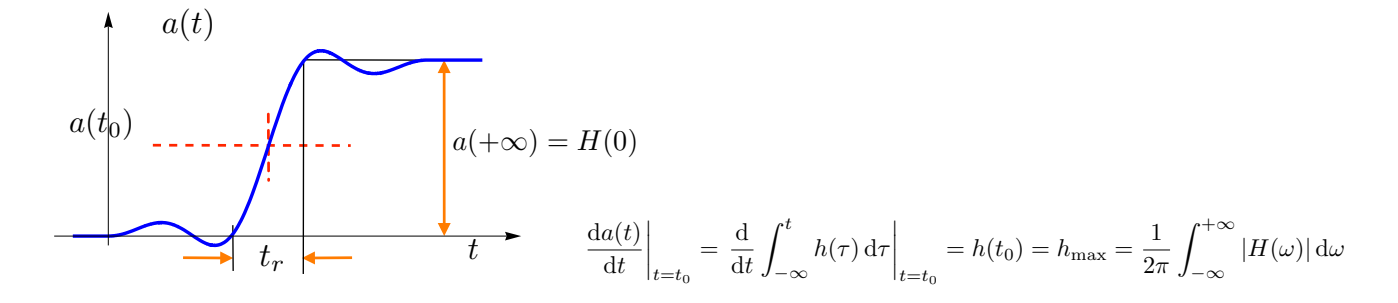
Anti-symétrie autour de $t=t_0$

$$a(t_0 + \tau) - a(t_0) = -(a(t_0 - \tau) - a(t_0))$$

Justification:
$$a(t_0 \pm \tau) = \underbrace{\int_{-\infty}^{t_0} h(\tau) \, \mathrm{d}\tau}_{a(t_0)} \pm \int_{0}^{\tau} h(t_0 + \tau) \, \mathrm{d}\tau$$



Temps de montée



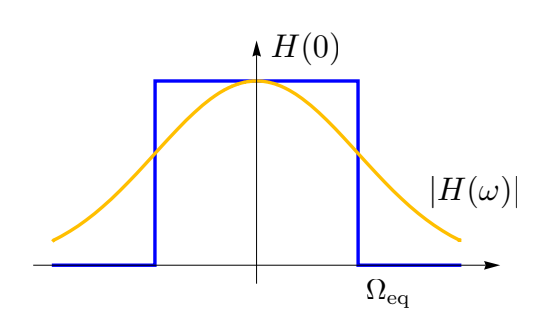
■ Temps de montée: "rise time"

$$\frac{H(0)}{t_r} = \frac{\mathrm{d}a(t)}{\mathrm{d}t}\Big|_{t=t_0} = h_{\mathrm{max}} \quad \Rightarrow \quad t_r = \frac{H(0)}{h_{\mathrm{max}}} = \frac{2\pi H(0)}{\int_{-\infty}^{+\infty} |H(\omega)| \,\mathrm{d}\omega} \qquad \qquad t_r = \frac{\pi}{\Omega_{\mathrm{eq}}} = \frac{1}{2f_{\mathrm{eq}}}$$

$$t_r = rac{\pi}{\Omega_{
m eq}} = rac{1}{2f_{
m eq}}$$

Largeur de bande équivalente

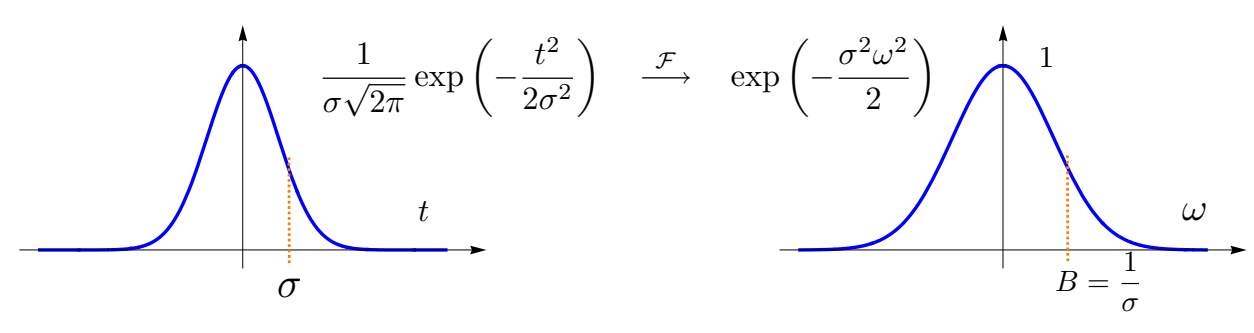
$$2\Omega_{\rm eq} H(0) = \int_{-\infty}^{+\infty} |H(\omega)| \,\mathrm{d}\omega$$



Unser / Signaux et systèmes

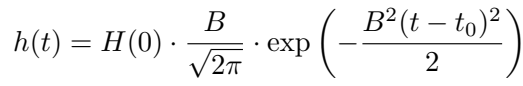
Filtre passe-bas Gaussien

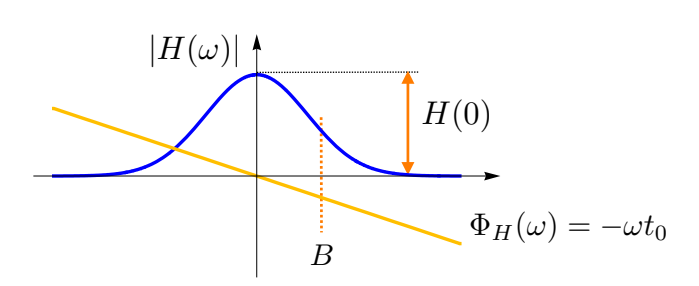
Transformation de Fourier d'une Gaussienne normalisée

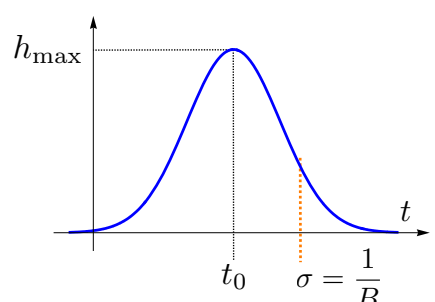


Filtre passe-bas Gaussien avec phase linéaire

$$H(\omega) = H(0) \cdot \exp\left(-\frac{\omega^2}{2B^2}\right) \cdot e^{-j\omega t_0} \qquad \xrightarrow{\mathcal{F}^{-1}} \qquad \qquad h(t) = H(0) \cdot \frac{B}{\sqrt{2\pi}} \cdot \exp\left(-\frac{B^2(t-t_0)^2}{2}\right)$$



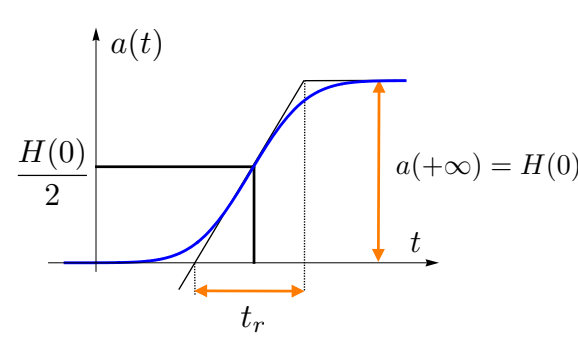




7-17

Filtre passe-bas Gaussien (suite)

■ Réponse indicielle: fonction Erf



$$t_r = \frac{H(0)}{h_{\text{max}}}$$

$$a(+\infty) = H(0)$$
 $h_{\text{max}} = H(0) \cdot \frac{B}{\sqrt{2\pi}}$

$$\Rightarrow t_r = \frac{\sqrt{2\pi}}{B} = \sigma\sqrt{2\pi} = \frac{\pi}{\Omega_{\text{eq}}}$$

$$\Rightarrow \Omega_{\text{eq}} = \frac{\pi}{\sqrt{2\pi}}B \approx 1.25 \cdot B$$

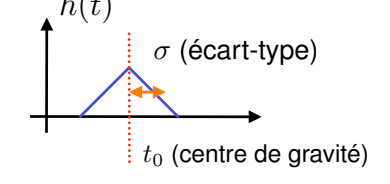
Unser / Signaux et systèmes 7-19

Cascade de filtres: filtre Gaussien équivalent

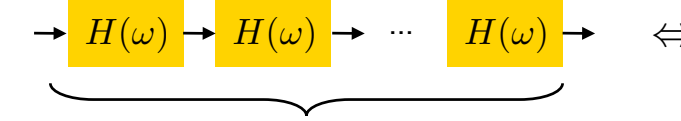
Caractéristiques du filtre

Type passe-bas:
$$H_{\mathrm{max}} = H(0) = \int_{\mathbb{R}} h(t) \, \mathrm{d}t = 1$$

Temps de retard: $t_0 = \int_{\mathbb{R}} t \cdot h(t) \, \mathrm{d}t$



Largeur équivalente:
$$\sigma = \sqrt{\int_{\mathbb{R}} (t-t_0)^2 h(t) \, \mathrm{d}t}$$



 \longrightarrow $H_{\rm eq}(\omega) = e^{-n\sigma^2\omega^2/2} \cdot e^{-j\omega nt_0}$ \longrightarrow

Cascade de n filtres identiques

$$B = \frac{1}{\sigma}$$
; retard: t_0

Filtre Gaussien équivalent

$$\sigma_{\rm eq}^2 = n\sigma^2; \quad B_{\rm eq} = \frac{B}{\sqrt{n}}; \quad t_{0,\rm eq} = nt_0$$

■ Généralisation: cascade de n filtres (Gaussien)

$$\sigma_{\text{eq}}^2 = \sigma_1^2 + \sigma_2^2 + \dots + \sigma_n^2; \quad t_{0,\text{eq}} = t_{0,1} + \dots + t_{0,n}$$

Théorème central-limite

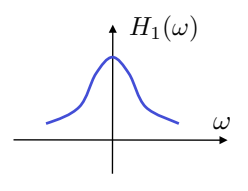
Théorème central-limite

Hypothèses

- $H_1(0) = 1$ (spectre passe-bas)
- Maximum global à $\omega = 0$ avec

$$\frac{\mathrm{d}H_1(\omega)}{\mathrm{d}\omega}\Big|_{\omega=0} = 0; \quad \frac{\mathrm{d}^2H_1(\omega)}{\mathrm{d}\omega^2}\Big|_{\omega=0} = -\sigma^2 < 0$$

$$H_n(\omega) = (H_1(\omega))^n \quad \to \quad e^{-n\sigma^2\omega^2/2}, \quad \text{lorsque } n \to +\infty$$



Preuve

Série de Taylor autour de l'origine:

$$H_1(\omega) = 1 - rac{\sigma^2 \omega^2}{2!} + O\left(\omega^4\right)$$

$$\xi = \omega \sqrt{n}$$

Rappel:

$$e^z = \lim_{n \to +\infty} \left(1 + \frac{z}{n} \right)^n$$

$$\lim_{n \to +\infty} \left(H_1 \left(\xi / \sqrt{n} \right) \right)^n = \lim_{n \to +\infty} \left(1 + \underbrace{\frac{-\sigma^2 \xi^2 / 2}{n}}_{z/n} + \underbrace{\frac{O\left(\xi^4 \right)}{n^2}}_{\to 0} \right)^n = e^{-\sigma^2 \xi^2 / 2}$$



Unser / Signaux et systèmes

7-21

7.3 FONCTIONS DE TRANSFERT RATIONNELLES

- Fonctions de transfert rationnelles
- Pôles et zéros
- Décomposition en fractions simples
- Détermination de la réponse impulsionnelle
- Exemple de calcul

Fonctions de transfert rationnelles

■ Filtre analogique à constantes localisées (équation différentielle)

Contraintes physiques: $n\geqslant m$ $\frac{\mathrm{d}^n y}{\mathrm{d}t^n} + a_{n-1}\frac{\mathrm{d}^{n-1}y}{\mathrm{d}t^{n-1}} + \dots + a_1\frac{\mathrm{d}y}{\mathrm{d}t} + a_0y = b_m\frac{\mathrm{d}^m x}{\mathrm{d}t^m} + \dots + b_1\frac{\mathrm{d}x}{\mathrm{d}t} + b_0x$

Equation du filtre dans le domaine de Fourier

$$(j\omega)^n Y(\omega) + a_{n-1}(j\omega)^{n-1} Y(\omega) + \dots + a_0 Y(\omega) = b_m(j\omega)^m X(\omega) + \dots + b_0 X(\omega)$$
$$((j\omega)^n + a_{n-1}(j\omega)^{n-1} + \dots + a_0) Y(\omega) = (b_m(j\omega)^m + \dots + b_0) X(\omega)$$

Fonction de transfert

$$H(\omega) = \frac{Y(\omega)}{X(\omega)} = \frac{b_m(j\omega)^m + \dots + b_1(j\omega) + b_0}{(j\omega)^n + a_{n-1}(j\omega)^{n-1} + \dots + a_1(j\omega) + a_0} = \frac{P_m(j\omega)}{Q_n(j\omega)}$$

$$P_m(s) = b_m s^m + \dots + b_1 s + b_0$$

$$Q_n(s) = s^n + a_{n-1}s^{n-1} + \cdots + a_1s + a_0$$
 = polynôme caractéristique (cf. Chap 2)!

Unser / Signaux et systèmes 7-23

Pôles et zéros

Fonctions de transfert rationnelles

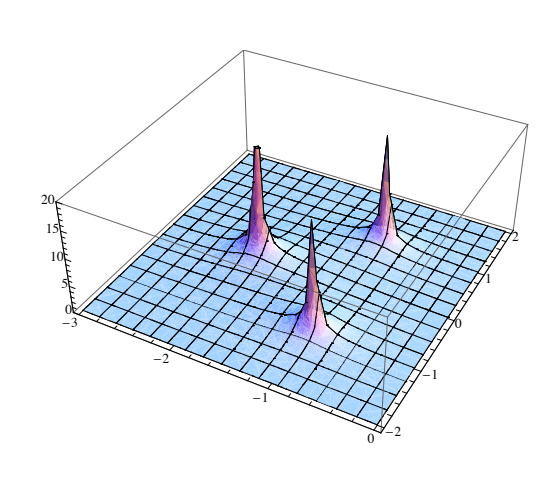
$$H(\omega) = \frac{b_m(j\omega)^m + \dots + b_1(j\omega) + b_0}{(j\omega)^n + a_{n-1}(j\omega)^{n-1} + \dots + a_1(j\omega) + a_0} = \frac{P_m(s)}{Q_n(s)}\bigg|_{s=j\omega}$$

Factorisation

$$H(\omega) = b_m \frac{\prod_{k=1}^{m} (j\omega - s_{0k})}{\prod_{k=1}^{m} (j\omega - s_{pk})}$$

Zéros: $\{s_{0k}\}_{k=1,\ldots,m}$ t.q. $P_m(s_{0k})=0$

Pôles: $\left\{s_{\mathbf{p}k}\right\}_{k=1,...,n}$ t.q. $Q_n(s_{\mathbf{p}k})=0$



■ Pourquoi l'appellation «pôles»?

Une explication parmi d'autres:

Le quotient $P_m(s)/Q_n(s)$ est une fonction dans le plan complexe qui ressemble vaguement à une tente avec des singularités (piquets=«poles» en anglais) en $s=s_{pk}$.

Décomposition en fractions simples

$$H(\omega) = \frac{P_m(s)}{Q_n(s)} \Big|_{s=j\omega} = b_m \frac{\prod_{k=1}^m (j\omega - s_{0k})}{\prod_{k=1}^n (j\omega - s_{pk})} \quad m \leqslant n$$

Cas de racines simples

$$H(\omega) = \underbrace{b_n}_{=\ 0,} + \sum_{k=1}^n \frac{A_k}{j\omega - s_{\mathrm{p}k}} \quad \text{avec} \quad A_i = (s - s_{\mathrm{p}i}) \cdot \left. \frac{P_m(s)}{Q_n(s)} \right|_{s = s_{\mathrm{p}i}} = b_m \frac{\prod\limits_{k=1}^m (s_{\mathrm{p}i} - s_{0k})}{\prod\limits_{k \neq i} (s_{\mathrm{p}i} - s_{\mathrm{p}k})}$$

Cas de racines multiples

Contribution d'un pôle multiple d'ordre p:

$$\frac{B_1}{j\omega-s_{\mathrm{p}}}+\frac{B_2}{(j\omega-s_{\mathrm{p}})^2}+\cdots+\frac{B_p}{(j\omega-s_{\mathrm{p}})^p}\quad\text{ avec }\quad B_{p-k}=\frac{1}{k!}\frac{\mathrm{d}^k}{\mathrm{d}s^k}\left((s-s_{\mathrm{p}})^p\frac{P_m(s)}{Q_n(s)}\right)_{s=s_{\mathrm{p}}}$$

Unser / Signaux et systèmes 7-25

Détermination de la réponse impulsionnelle

Cas de racines simples

$$H(\omega) = \underbrace{b_n}_{=0,} + \sum_{k=1}^n \frac{A_k}{j\omega - s_{pk}}$$

$$\sin s > m$$

$$\downarrow \quad \mathcal{F}^{-1}$$

$$h(t) = \underbrace{b_n \delta(t)}_{=0,} + \sum_{k=1}^n A_k u(t) \cdot e^{s_{pk}t}$$

$$\sin s = m$$

⇒ Somme pondérée de modes (cf. Chap. 2)!

$$f(t) F(\omega) = \int_{-\infty}^{+\infty} f(t)e^{-j\omega t} dt$$

$$\delta(t) 1$$

$$u(t) \cdot e^{st} \frac{1}{j\omega - s}, \operatorname{Re}\{s\} < 0$$

$$\frac{t_{+}^{n}e^{st}}{n!} \frac{1}{(j\omega - s)^{n+1}}, \operatorname{Re}\{s\} < 0$$

$$u(t) \cdot e^{at}\cos\omega_{0}t \frac{j\omega - a}{(j\omega - a)^{2} + \omega_{0}^{2}}, a < 0$$

$$u(t) \cdot e^{at}\sin\omega_{0}t \frac{\omega_{0}}{(j\omega - a^{2})^{2} + \omega_{0}^{2}}, a < 0$$

Contribution d'un pôle multiple (ordre p)

$$\frac{B_1}{j\omega - s_p} + \frac{B_2}{(j\omega - s_p)^2} + \dots + \frac{B_p}{(j\omega - s_p)^p} \quad \xrightarrow{\mathcal{F}^{-1}} \quad \left(\sum_{k=1}^p B_k \frac{t_+^{k-1}}{(k-1)!}\right) e^{s_p t}$$

Condition de stabilité BIBO

Tous les pôles dans le demi-plan complexe gauche!

Unser / Signaux et systèmes 7-26

Exemple de calcul

Problème: Calculer la réponse impulsionnelle du filtre: $H(\omega) = \frac{-2\omega^2 + 5}{-\omega^2 + 3j\omega + 2}$

1. Exprimer $H(\omega)$ sous la forme d'un quotient de deux polynômes en $s=j\omega$

$$H(\omega) = \frac{2(j\omega)^2 + 5}{(j\omega)^2 + 3j\omega + 2} = \left. \frac{P(s)}{Q(s)} \right|_{s=j\omega} = \left. \frac{2s^2 + 5}{s^2 + 3s + 2} \right|_{s=j\omega}$$

- 2. Détermination des pôles: $s^2 + 3s + 2 = 0 \implies (s_1 = -1, s_2 = -2)$ Le système causal est stable!
- 3. Décomposition en fractions simples

$$\frac{2s^2+5}{s^2+3s+2} = \frac{2s^2+5}{(s+1)(s+2)} = 2 + \frac{A_1}{(s+1)} + \frac{A_2}{(s+2)} \qquad \text{(remarque: } \lim_{\omega \to +\infty} H(\omega) = b_m = 2\text{)}$$

$$A_1 = \frac{2s^2+5}{(s+2)} \bigg|_{s=-1} = \frac{2+5}{-1+2} = 7; \quad A_2 = \frac{2s^2+5}{(s+1)} \bigg|_{s=-2} = \frac{8+5}{-2+1} = -13$$

4. Réponse impulsionnelle par transformation de Fourier inverse

$$h(t) = 2\delta(t) + 7u(t) \cdot e^{-t} - 13u(t) \cdot e^{-2t}$$

Unser / Signaux et systèmes 7-27

7.4 PLACEMENT DES POLES ET ZEROS

- Réponse d'amplitude et de phase
- Contribution d'un pôle réel
- Contribution d'un zéro réel
- Contribution d'une paire de pôles conjugués
- Contribution d'une paire de zéros conjugués
- Système à phase minimale
- Filtre passe-tout

Fonction de transfert: pôles et zéros

Fonctions de transfert rationnelles

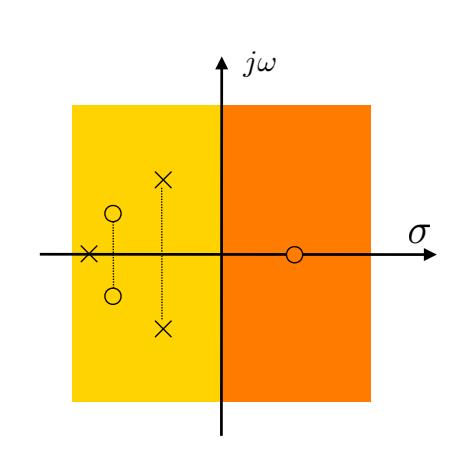
$$H(\omega) = \frac{b_m(j\omega)^m + \dots + b_1(j\omega) + b_0}{(j\omega)^n + a_{n-1}(j\omega)^{n-1} + \dots + a_1(j\omega) + a_0} = \frac{P_m(s)}{Q_n(s)} \bigg|_{s=j\omega} \quad m \leqslant n$$

Exemples: circuit électrique à constantes localisées

$$H(\omega) = b_m \frac{\prod_{k=1}^{m} (j\omega - s_{0k})}{\prod_{k=1}^{m} (j\omega - s_{pk})}$$

$$s_{0k} = \sigma_{0k} + j\omega_{0k}$$
: zéros de $H(\omega)$ \circ

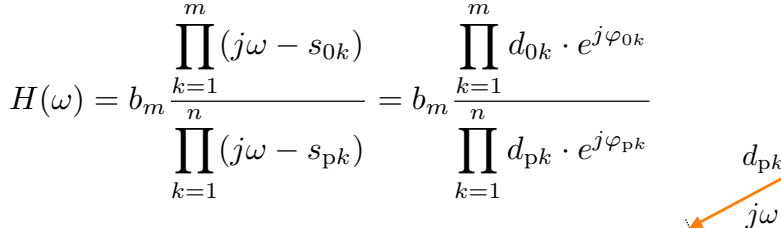
$$s_{{
m p}k} = \sigma_{{
m p}k} + j\omega_{{
m p}k}$$
: pôles de $H(\omega)$ $imes$



7-29 Unser / Signaux et systèmes

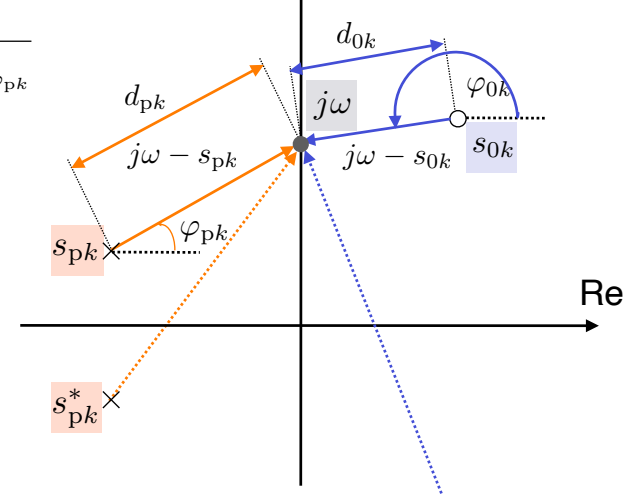
Réponse d'amplitude et de phase

$$H(\omega) = b_m \frac{\prod_{k=1}^{m} (j\omega - s_{0k})}{\prod_{k=1}^{m} (j\omega - s_{pk})} = b_m \frac{\prod_{k=1}^{m} d_{0k} \cdot e^{j\varphi_{0k}}}{\prod_{k=1}^{m} d_{pk} \cdot e^{j\varphi_{pk}}}$$



Représentation polaire:

$$j\omega - \overbrace{(\sigma_k + j\omega_k)}^{s_k} = d_k \cdot e^{j\varphi_k}$$
$$d_k = \sqrt{\sigma_k^2 + (\omega - \omega_k)^2}$$
$$\varphi_k = \arctan\frac{\omega - \omega_k}{-\sigma_k}$$

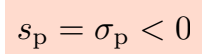


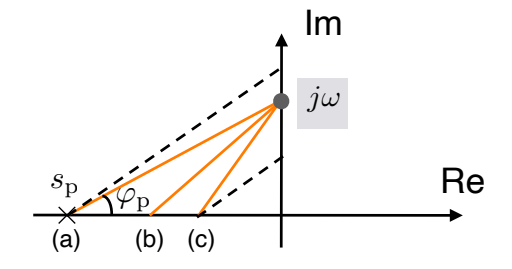
lm

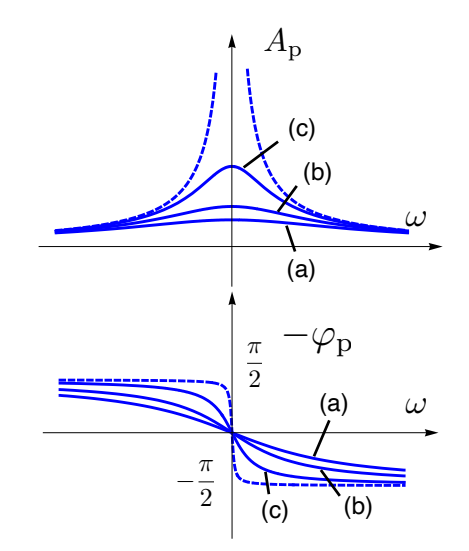
$$\text{Amplitude:} \quad A_H(\omega) = |b_m| \cdot \frac{\displaystyle\prod_{k=1}^m d_{0k}}{\displaystyle\prod_{l=1}^n d_{pk}} \qquad \text{Phase:} \quad \Phi_H(\omega) = \sum_{k=1}^m \varphi_{0k} - \sum_{k=1}^n \varphi_{pk}$$

7-30 Unser / Signaux et systèmes

Contribution d'un pôle réel





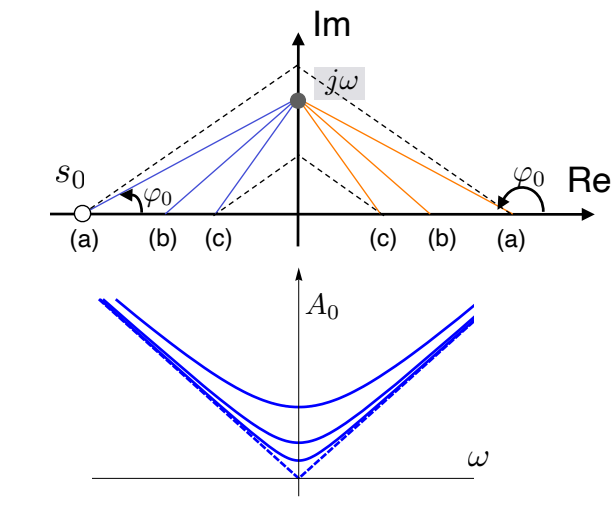




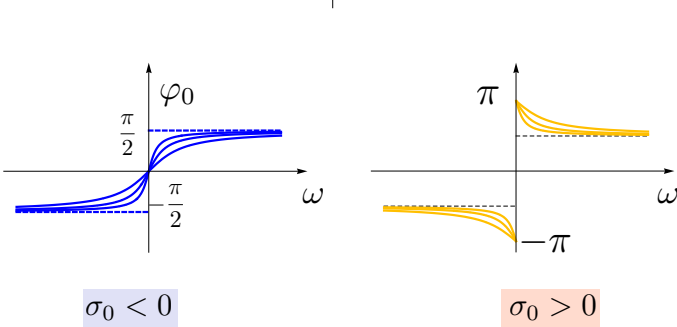
Unser / Signaux et systèmes 7-31

Contribution d'un zéro réel

$$s_0 = \sigma_0$$



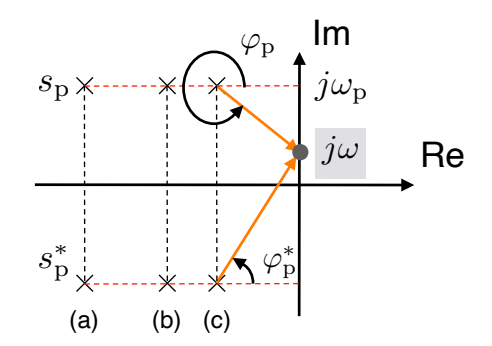




Unser / Signaux et systèmes 7-32

Contribution d'une paire de pôles conjugués

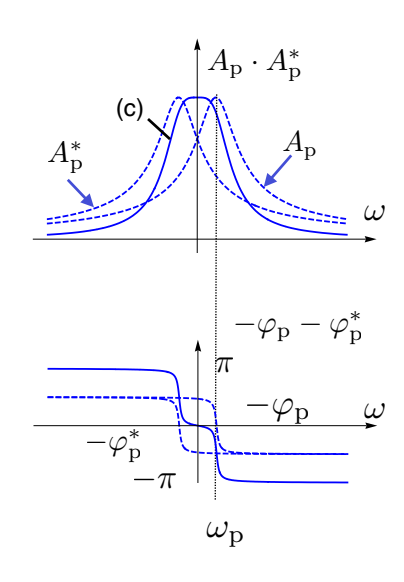
$$s_{\rm p} = \sigma_{\rm p} + j\omega_{\rm p}$$
$$s_{\rm p}^* = \sigma_{\rm p} - j\omega_{\rm p}$$



Placement du/des pôle(s): effets qualitatifs

- Résonance (amplification) à la fréquence ω_p ; d'autant plus forte que le pôle est proche de l'axe imaginaire
- Retard de phase de l'ordre de $\pi/2$ par pôle





7-33

Click for demo

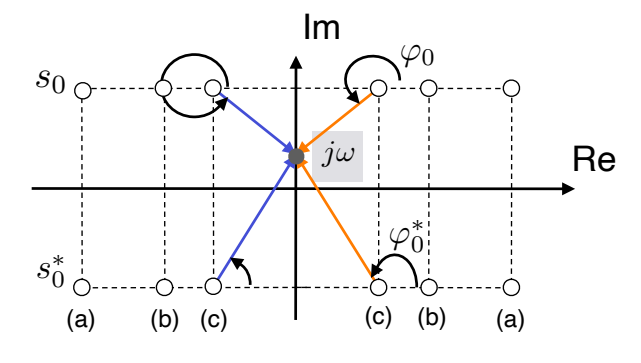
Unser / Signaux et systèmes

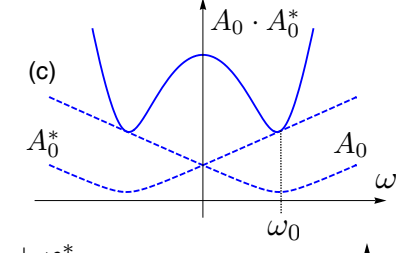
Contribution d'une paire de zéros conjugués

$$s_0 = \sigma_0 + j\omega_0$$
$$s_0^* = \sigma_0 - j\omega_0$$

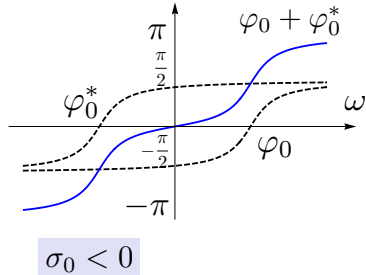
Placement du/des zéro(s): effets qualitatifs

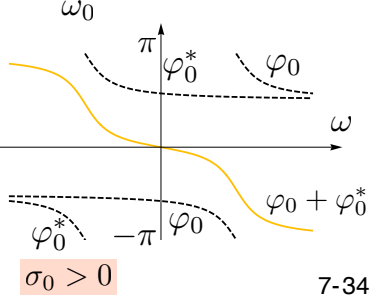
- Atténuation à la fréquence ω_0 ; d'autant plus forte que le zéro est proche de l'axe imaginaire
- \blacksquare Avance $(\sigma_0<0)$ ou retard $(\sigma_0>0)$ de phase de l'ordre de $\pi/2$ par zéro











Unser / Signaux et systèmes

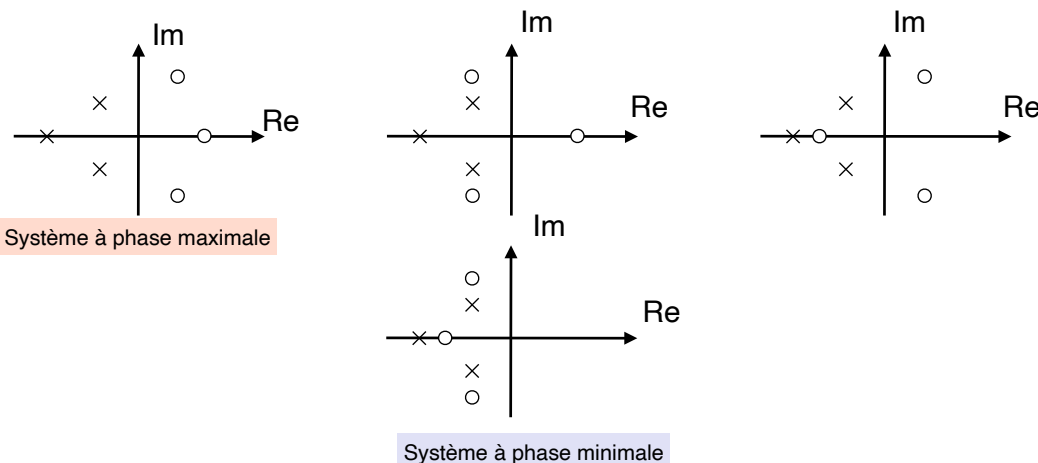
Système à phase minimale

On peut obtenir la même réponse en amplitude avec deux zéros dont les σ_{0k} sont de valeur opposée

- Si $\sigma_{0k} > 0$, la contribution en phase pour $\omega > 0$ est négative
- Si σ_{0k} < 0, la contribution en phase est positive; elle peut donc compenser en partie la composante en phase des pôles qui est toujours négative!

Filtre à phase minimale: tous les zéros dans le demi-plan gauche.

Parmi tous les filtres rationnels causaux ayant la même réponse d'amplitude, c'est celui qui a la phase minimale.



Unser / Signaux et systèmes

7-35

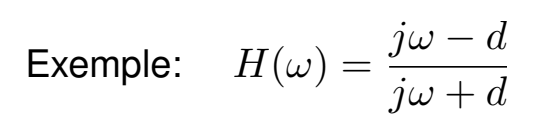
Filtre passe-tout

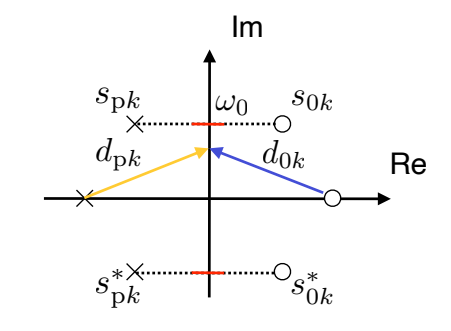
Filtre passe-tout = déphaseur

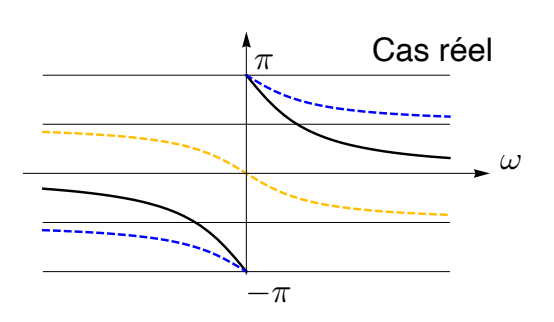
- Modifie seulement la phase
- Pôles et zéros placés de façon symétrique

$$A_H(\omega) = 1 \quad \forall \omega \quad \Rightarrow \quad A_H(\omega) = \prod_{k=1}^n \underbrace{\frac{d_{0k}}{d_{pk}}}_1$$

$$\sigma_{0k} + j\omega_{0k} = -\sigma_{pk} + j\omega_{pk} \quad \Leftrightarrow \quad s_{0k} = -s_{pk}^*$$



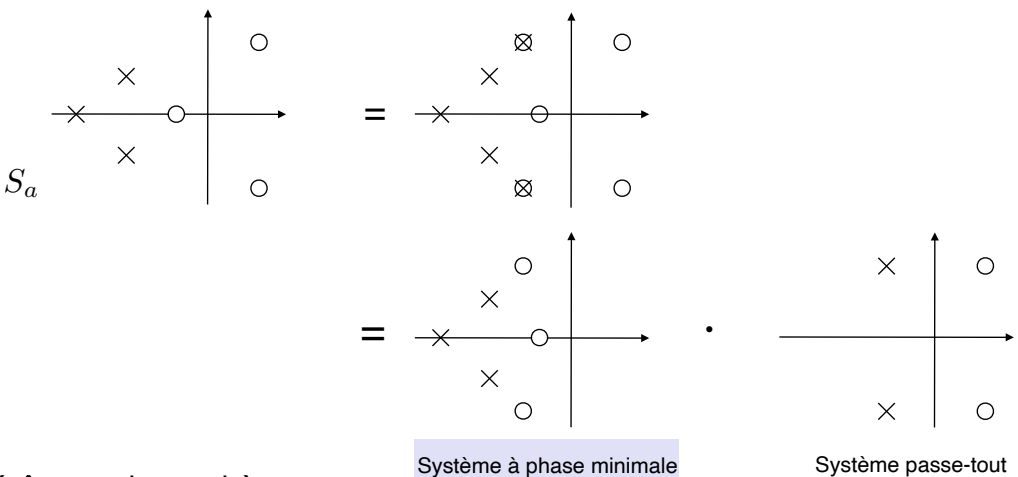




Décomposition: phase minimale-passe-tout

Propriété

Toute fonction de transfert rationnelle peut se décomposer en une cascade d'un système à phase minimale et un système passe-tout



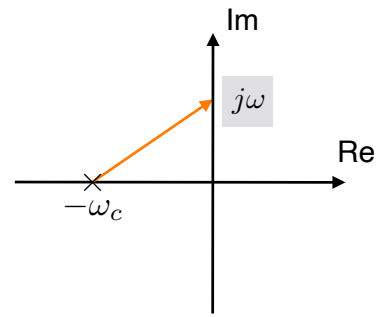
- Intérêt pour la synthèse
 - On tient compte d'abord de l'amplitude uniquement et l'on choisit la solution à phase minimale (pôles et zéros dans le demi-plan gauche)
 - On corrige ensuite la phase à l'aide d'un filtre passe-tout

Unser / Signaux et systèmes 7-37

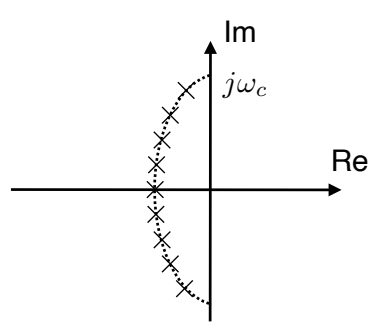
7.5 SYNTHESE DE FILTRES PARTICULIERS

- Filtres passe-bas
- Filtres passe-bande
- Filtres à encoches
- Filtres de Butterworth

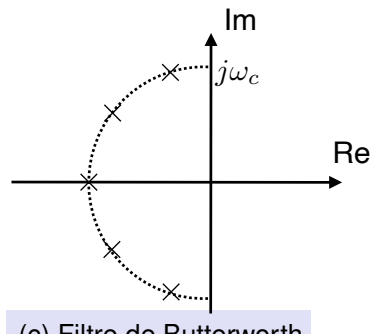
Filtres passe-bas



(a) Filtre du premier ordre (n = 1)

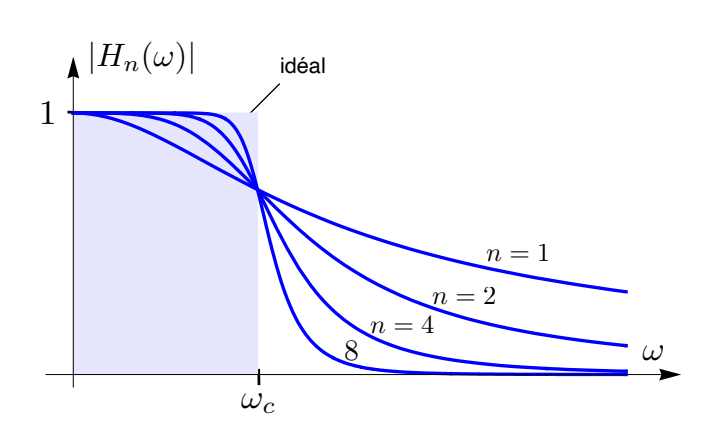


(b) Mur de pôles



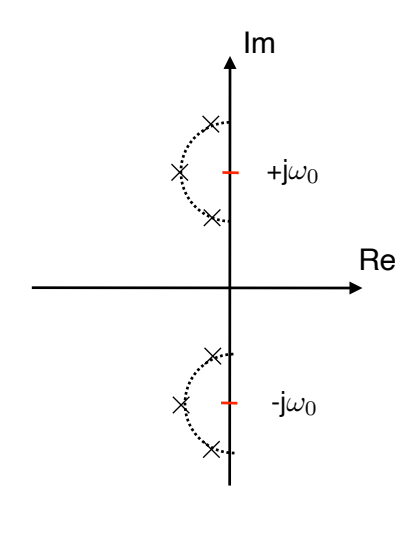
(c) Filtre de Butterworth

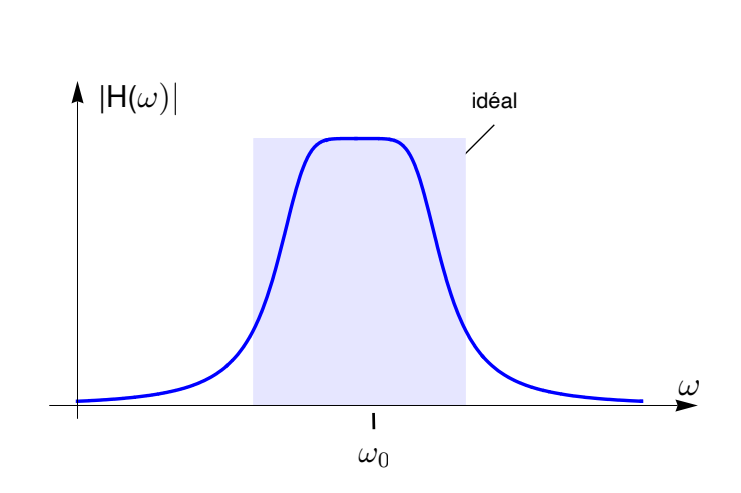
$$H_1(\omega) = \frac{\omega_c}{j\omega + \omega_c}$$



7-39 Unser / Signaux et systèmes

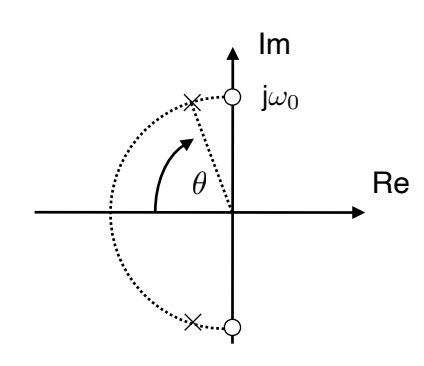
Filtres passe-bande

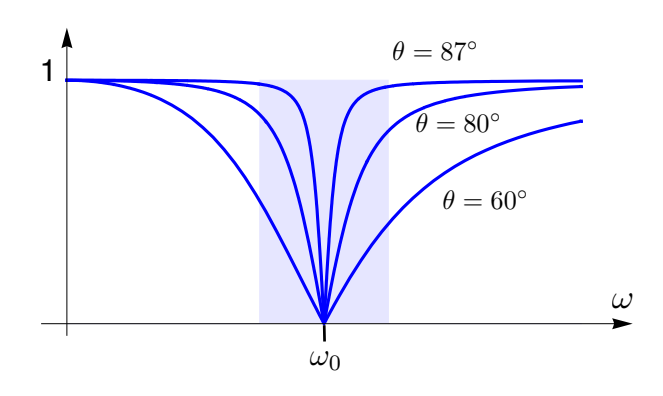




7-40 Unser / Signaux et systèmes

Filtre à encoche (Notch filter)





Contraintes

$$lacksquare H(\omega_0)=0 \qquad \qquad \Rightarrow \qquad {\sf z\'eros}\ {\sf \grave{a}}\ s=\pm j\omega_0$$

$$\lim_{\omega \to +\infty} H(\omega) = 1 \quad \Rightarrow \quad \text{même nombre de pôles et de zéros } (n=m)$$

$$lacksquare H(0)=1 \qquad \qquad \Leftarrow \qquad ext{p\^oles et z\'eros \'equidistants de l'origine (arc de cercle)}$$

■ Exemple: filtre du 2^{ème} ordre

$$H(j\omega) = \frac{(j\omega + j\omega_0)(j\omega - j\omega_0)}{(j\omega + \omega_0(\cos\theta + j\sin\theta))(j\omega + \omega_0(\cos\theta - j\sin\theta))}$$

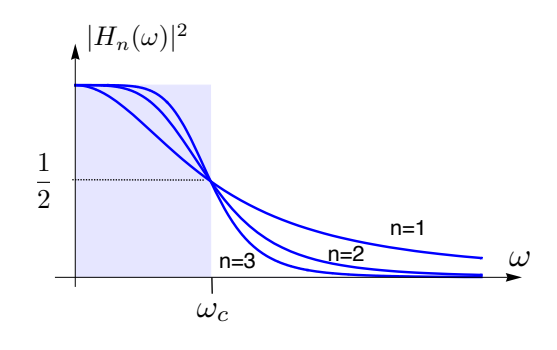
Unser / Signaux et systèmes 7-41

Filtres de Butterworth

 $lue{}$ Definition: filtre de Butterworth d'ordre n

$$|H_n(\omega)|^2 = \frac{1}{1 + (\omega/\omega_c)^{2n}}$$

 ω_c : fréquence de coupure



- Propriétés de filtrage passe-bas
 - Comportement à l'origine: «Maximally Flat Magnitude Filter»

$$|H_n(\omega)|^2 = 1 + O\left(\omega^{2n}\right)$$

En effect:
$$\frac{1}{1+\Delta x} = 1 - \underbrace{\Delta x}_{O(\omega^{2n})} + \underbrace{(\Delta x)^2}_{O(\omega^{4n})} - \cdots$$

Comportement asymptotique:

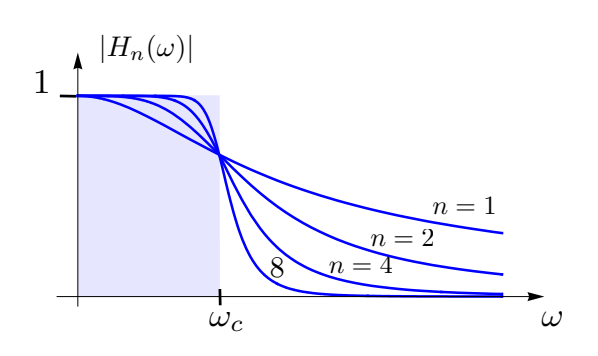
$$|H_n(\omega)| \propto rac{1}{|\omega|^n}$$
 lorsque $\omega o +\infty$

Filtres de Butterworth (suite)

$$|H_n(\omega)|^2 = \frac{1}{1 + (\omega/\omega_c)^{2n}} = \frac{1}{1 + (s/(j\omega_c))^{2n}} \Big|_{s=j\omega}$$

$$= \frac{\omega_c^n}{Q_n(j\omega)} \cdot \frac{\omega_c^n}{Q_n(-j\omega)} = H_n(\omega) \cdot H_n^*(\omega)$$

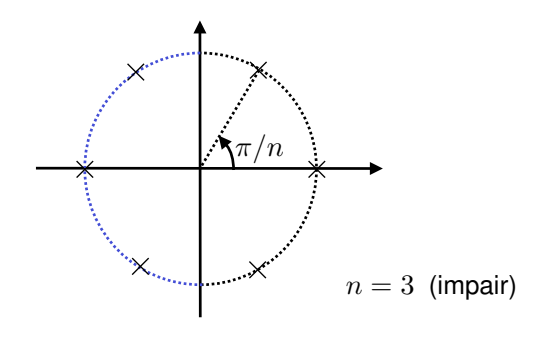
$$= \frac{1}{1 + (\omega/\omega_c)^{2n}} = \frac{1}{1 + (s/(j\omega_c))^{2n}} \Big|_{s=j\omega}$$

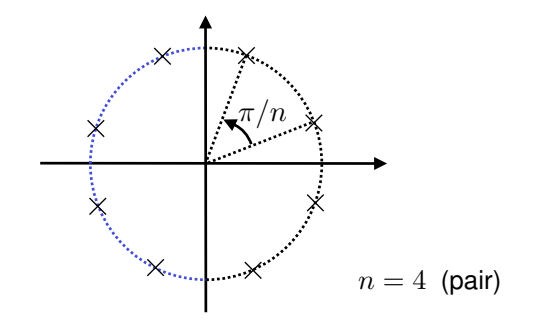


■ Pôles de $|H_n(\omega)|^2 = H_n(\omega) \cdot H_n(-\omega)$

$$\left(\frac{s}{\omega_c}\right)^{2n} = -1 \cdot j^{2n} = e^{j\pi(2k-1)} \cdot e^{j\frac{\pi}{2}2n} \quad \Rightarrow \quad s_{pk} = \omega_c \cdot e^{\frac{j\pi}{2n}(2k-1+n)}$$

$$s_{pk} = \omega_c \cdot e^{\frac{j\pi}{2n}(2k-1+n)}$$





Unser / Signaux et systèmes

7-43

Autres filtres

- Filtres de Chebyshev
- Filtres elliptiques
- Transformations fréquentielles

Exemple: filtre passe-bas → filtre passe-haut

$$\omega \to \frac{\omega_c}{\omega}$$